



بررسی تأثیر پیش‌تیمار پرتوودهی گاما بر برخی ویژگی‌های کیفی و رئولوژیکی غده سیب‌زمینی

آیت محمدزاداری^۱، سیده هدی یوسفیان^{۲*}، حسن کیانی^۳، مرضیه سیحون^۴

۱. دانشجوی دکتری، مهندسی مکانیک بیوسیستم، دانشگاه شهرکرد

۲. کارشناس ارشد، مهندسی مکانیک بیوسیستم، دانشگاه بوعلی سینا همدان

۳. دانشجوی دکتری، مهندسی مکانیک بیوسیستم، دانشگاه آزاد اسلامی، واحد علوم و تحقیقات تهران

۴. مربي، کاربرد پرتوها، پژوهشگاه علوم و فنون هسته‌ای، سازمان انرژی اتمی ایران

(تاریخ دریافت: ۹۵/۲/۲۵، تاریخ پذیرش: ۹۵/۳/۲۵)

چکیده

پرتوودهی از روش‌های نوین در نگهداری مواد غذایی است. در این پژوهش اثرات دز پرتوودهی بر روی نمونه‌ها، عمر ماندگاری و زمان نگهداری غده‌های سیب‌زمینی از طریق آزمون‌های مختلف بر برخی از ویژگی‌های کیفی و رئولوژیک غده سیب‌زمینی بررسی گردید. نمونه‌ها از فروشگاه سازمان انرژی اتمی خریداری و پس از تهیه و قبیل از شروع آزمایشات به مدت یک هفته در سردخانه (4 درجه سانتی‌گراد) نگهداری شدند. به منظور پرتوودهی نمونه‌ها از چشمکه کبات 60 (گاماسل 220) استفاده شد. نمونه‌ها با دزهای صفر (شاهد)، 2، 5 و 8 کیلوگرمی پرتوودهی و سپس به مدت 150 روز در دمای 6 درجه سانتی‌گراد و دمای محیط (18 درجه سانتی‌گراد) نگهداری شدند. درصد ماده خشک و نشاسته در نمونه‌های پرتوودهی شده با دز 2 کیلوگرمی و ذخیره شده در دمای 6 درجه سانتی‌گراد دارای بیشترین مقدار و به ترتیب 22/01 و 12/09 درصد بود. مقادیر قطر میانگین هندسی و ضریب کرویت با افزایش دز پرتوودهی به مقدار 23/27 و 8/39 درصد کاهش یافته و در نمونه‌های پرتوودهی شده با دز 8 کیلوگرمی دارای کمترین مقادیر به ترتیب 40/12 و 76/41 درصد است. همچنین^{a,b*}، تغییرات رنگ و BI با افزایش دز پرتوودهی به مقدار 2/9، 3/2، 5/13 و 4/97 درصد افزایش و ^{L*} به مقدار 2/14 کاهش یافته است. علاوه‌بر این، با استفاده از آزمون تنش‌آسایی نیز مدل سه جزئی ماکسول محاسبه شد و نتایج نشان داد با افزایش دز پرتوودهی و دمای نگهداری تنش ریلکسیشن 39/96 درصد کاهش و مدت زمان ریلکسیشن 27 درصد افزایش یافت.

واژه‌های کلیدی: پرتو گاما، تنش‌آسایی، خواص فیزیکی، درصد نشاسته، مدل ماکسول.

* نویسنده مسئول: hoda.mchanic@yahoo.com

۱- مقدمه

شده و رسیدگی، پیری و جوانهزنی در میوه‌ها و سبزی‌ها را کنترل می‌کند. ترکیبات شیمیایی مواد غذایی در جهت بهبود کیفیت مواد غذایی تغییر پیداکرده و در نهایت بعد از پرتودهی هیچ‌گونه سمی در مواد غذایی باقی نمی‌ماند [6].

پرتودهی به فرایندی گفته می‌شود که در آن ماده مورد نظر (بیولوژیکی و غیربیولوژیکی) در معرض پرتوهای یونیزه قرار داده می‌شود. نفوذ پرتو تابشی به داخل ماده باعث برهم‌کنش تابش با اتم‌ها یا مولکول‌های ماده می‌شود. در اثر فرایندهای فیزیکی مختلف انرژی تابش در ماده جذب می‌شود. به مقدار انرژی جذب شده در ماده دز گفته می‌شود که با واحد گری (مقدار انرژی جذب شده در واحد جرم، Gy) بیان می‌گردد [7-8]. پرتودهی به عنوان یک فرایند سرد شناخته شده است که دما را به طور قابل توجهی افزایش نمی‌دهد و در اکثر غذاها تغییرات فیزیکی یا حسی به جا نمی‌گذارد [9].

محصولات کشاورزی در برابر بارهای استاتیکی و دینامیکی رفتار متفاوتی از خود نشان می‌دهند. کاهش تنش‌های ناشی از جابه‌جایی و افزایش ماندگاری با هدف کاهش ضایعات پس از برداشت محصولات، امری ضروری تلقی می‌شود [10].

آگاهی از ویژگی‌های ویسکوالاستیک مواد غذایی برای طراحی تجهیزات برداشت محصول، حمل و نقل، مرتب‌سازی و بسته‌بندی امری ضروری است، که با استفاده از آزمون‌های تنش‌آسایی، خوش و آزمون‌های دینامیکی بررسی می‌گردد. یکی از مهم‌ترین مشخصه‌های مواد ویسکوالاستیک، تنش‌آسایی می‌باشد، که در یک تغییر شکل اولیه سریع و معین، تنش با گذشت زمان، پیوسته کاهش یافته و به سمت صفر میل می‌کند. در آزمون تنش‌آسایی از مدل‌های ماکسول برای توصیف رفتار استراحت تنش محصولات استفاده می‌شود [12]. یکی از مهم‌ترین پارامترهای ویسکوالاستیک محصولات کشاورزی که از طریق این آزمون به دست می‌آید، زمان تنش‌آسایی است و برابر است با مدت زمانی که تنش موجود در یک ماده با مدل ماکسول ساده به ۰.۳۷٪ مقدار تنش اولیه خود می‌رسد [13]. در پژوهشی، با انجام آزمون تنش‌آسایی بر روی انگور سفید بی‌دانه ضرایب ماکسول عمومی تعیین و نشان داده شد که مقدار زمان استراحت بسته به سهم ویژگی ویسکوز یا الاستیک ماده متفاوت می‌باشد [10]. همچنین در تحقیقی، بر اساس آزمون

سیب‌زمینی همواره یکی از محصولات پر مصرف در سراسر دنیا بوده و جایگاه ویژه‌ای در تهیه غذاهای گوناگون دارد. همچنین به عنوان یکی از منابع اصلی تامین کربوهیدرات و نشاسته مطرح می‌باشد. لذا با توجه به تقاضای فراوان، تحقیقات متعددی برای بهبود شرایط کاشت، داشت، برداشت، فراوری و نگهداری آن صورت گرفته است [1]. سیب‌زمینی از جنس سولاتوم و خانواده سولانا سه، تنها عضوی است که اهمیت بر جسته‌ای از نظر کشاورزی دارد به طوری که بعد از غلات منبع اصلی کربوهیدرات به شمار می‌آید. نشاسته ترکیب اصلی و مهم سیب‌زمینی می‌باشد که ۱۷ تا ۲۱ درصد از وزن تازه سیب‌زمینی و حدود ۸۰ درصد ماده خشک آن را تشکیل می‌دهد. نشاسته به عنوان اندوخته غذایی بسیاری از گیاهان محسوب می‌شود و گرانول‌های نشاسته در اصل بسته‌های فشرده‌ای از پلیمرهای گلوکز محسوب می‌شوند [2].

نشاسته تجاری به طور عمده از ذرت تهیه می‌شود، ولی سیب‌زمینی و گندم نیز از منابع تهیه نشاسته می‌باشند. تولید نشاسته از سیب‌زمینی برای اولین بار در قرن هجدهم انجام شد. در دانمارک از سال ۱۹۰۰ تولید نشاسته به صورت صنعتی آغاز گردید به طوری که ۷۵ درصد تولید سیب‌زمینی این کشور برای تولید نشاسته مصرف می‌شود [3]. ویژگی‌های نشاسته تحت تأثیر واریته و شرایط محیطی از قبیل میزان بارندگی و پراکنش آن در طی فصل رویش گیاه و دامنه دمای محیط در طول دوره رشد سیب‌زمینی می‌باشد و اختلافات موجود در ویژگی‌های نشاسته حاصل از سیب‌زمینی‌های پروش یافته تحت شرایط مختلف آب و هوایی ناشی از این امر می‌باشد [4]. روش‌های معمول فراوری و نگهداری مواد غذایی مانند استفاده از افزودنی‌ها و نگهدارنده‌ها و یا فرایندهای حرارتی مانند پاستوریزاسیون موجب کاهش ارزش غذایی، تغییر ویژگی‌های حسی و اثرات منفی بر سلامت مصرف‌کننده می‌شود. امروزه روش‌های فراوری و نگهداری نوین به سرعت در حال گسترش می‌باشد [5]. از روش‌های مختلفی مانند فرایندهای حرارتی، افزودنی‌های شیمیایی، دوددهی و پرتودهی برای افزایش ماندگاری مواد غذایی استفاده می‌شود. پرتودهی مواد غذایی در حد مطلوب، باعث تخریب میکروارگانیسم‌ها و حشرات

بررسی تأثیر پیش‌تیمار پرتووده‌ی گاما بر برخی ویژگی‌های کیفی و ...
 (Yuro-Sonic آلمان) کاملاً خرد کرده، سپس به میزان 3 برابر وزن مخلوط در آن آب مقطر ریخته، 20 میلی‌لیتر محلول متابی سولفیت 0/1 درصد اضافه نموده و به‌وسیله پارچه توری صاف گردید. پس از دو فاز شدن محلول، توسط کاغذ صافی (Whatman, Sheetpaper) و قیف نشاسته بوخرن جدا گردید. نشاسته به‌دست آمده چندین بار با آب شسته شده و در نهایت در دمای 30 درجه سانتی‌گراد در خشک‌کن هوشمند (مدل SHFH22، توان 500 وات، ولتاژ 220 ولت) خشک گردید. [15]

2-3- خواص فیزیکی

شاخص‌های فیزیکی غده‌ها، شامل جرم، ابعاد، قطر میانگین هندسی، ضربیت کرویت، جرم مخصوص و حجم به‌عنوان پارامترهای وابسته با 5 اندازه‌گیری شدند. سه بعد اصلی از جمله قطر بزرگ، متوسط و کوچک با کمک یک کولیس دیجیتال با قدرت تفکیک 0/01 میلی‌متر (Insize, Germany, 0.01) اندازه‌گیری شد. قطر میانگین هندسی و ضربیت کرویت نمونه‌ها که بیان کننده میزان شباهت هر نمونه به کره است با استفاده از روابط (1) و (2) محاسبه شد [13]:

$$Dg = (abc)^{\frac{1}{3}} \quad (1)$$

$$\varnothing = \frac{(abc)^{\frac{1}{3}}}{a} \quad (2)$$

در این روابط Dg قطر میانگین هندسی (میلی‌متر)، \varnothing ضربیت کرویت نمونه‌ها (بدون بعد) و a , b و c به ترتیب قطرهای بزرگ، کوچک و متوسط (میلی‌متر) می‌باشد.

در این تحقیق، حجم غده‌ها بر اساس روش جابه‌جایی سیال و رابطه (3) به‌دست آمد [13]:

$$V = \frac{m_2 - m_1}{\rho} \quad (3)$$

m_2 مجموعه جرم ظرف، آب درون ظرف و نمونه و m_1 مجموع جرم ظرف و آب درون ظرف.

با کمک جرم و حجم غده، جرم مخصوص آن از رابطه (4) به‌دست آمد:

تنش آسایی و مدل ماکسول که بر روی میوه توتفرنگی پوشش داده شده انجام گردید، داده‌های شبیه‌سازی آزمون مناسب با داده‌های تجربی بود و بر اساس داده‌های تنش آسایی نتیجه گرفته شد که استفاده از این پوشش خوارکی از کاهش زمان تنش آسایی بافت توتفرنگی‌های تیمار شده جلوگیری کرده که موجب بهبود خواص رئولوژیکی بافت میوه گردیده است [11]. با توجه به هزینه‌های بالای نگهداری سیب‌زمینی در انبار و از سوی دیگر محدود بودن ظرفیت انبارداری، تحقیق در خصوص بهبود کیفیت ماندگاری سیب‌زمینی از اهمیت بالایی برخوردار است. بدین منظور، در این تحقیق تأثیر پیش‌تیمار پرتووده‌ی گاما جهت حفظ کیفیت غده سیب‌زمینی، از طریق بررسی خواص کیفی و رئولوژیکی بررسی می‌گردد.

2- مواد و روش‌ها

2-1- آماده‌سازی نمونه

از فروشگاه تعاونی سازمان انرژی اتمی ایران، تعداد 100 عدد سیب‌زمینی رقم مارفونا در اندازه متوسط کاملاً تصادفی تهییه گردید. در جایه‌جایی نمونه‌ها دقت شد تا نیروهایی که باعث ایجاد خطأ در آزمایش می‌گردند، به نمونه‌ها وارد نیاید. سیب‌زمینی‌ها به مدت یک هفته در سردخانه (4 درجه سانتی‌گراد) به‌منظور جلوگیری از تغییرات شیمیایی و درون بافتی نگهداری شدند [24]. نمونه‌ها در کیسه‌های نایلونی استریل، به‌منظور پرتووده‌ی بسته‌بندی گردید. برای پرتووده‌ی نمونه‌ها از چشمکه کمالت 60 (گاماسل 220) استفاده شد. نمونه‌ها با ذرهای صفر (شاهد)، 5, 2 و 8 کیلوگرمی پرتووده‌ی، سپس به مدت 5 ماه در دماهای 6 درجه سانتی‌گراد و محیط 18 درجه سانتی‌گراد نگهداری گردیدند [24].

2-2- خواص کیفی

2-2-1- تعیین ماده خشک

با استفاده از آون (مدل SHFH22، توان 500 وات، ولتاژ 220 ولت) و در دمای 105 درجه سانتی‌گراد میزان ماده خشک نمونه‌ها اندازه‌گیری گردید [14].

2-2-2- استخراج نشاسته

نمونه‌های سیب‌زمینی به‌وسیله دستگاه خرد کن به‌دست آمد:

مدل لودسل xforce hp با ظرفیت 500 نیوتون) با استفاده از پرتوی به قطر 25 میلی‌متر تحت آزمون صفحات فشاری بهره گرفته شد. نمونه‌های استوانه‌ای شکل به قطر 12/96 میلی‌متر و طول 20 میلی‌متر تهیه و سپس در صفحه پایینی و فک دستگاه قرار گرفتند. آزمایش در دمای اتاق و در شرایط نیروی بارگذاری اولیه 0/2 نیوتون، سرعت آغاز آزمون 60 میلی‌متر بر دقیقه، سرعت بارگذاری 3 میلی‌متر بر دقیقه و مدت زمان تنش‌آسایی 550 ثانیه انجام گرفت [5, 11].

از مدل ماکسول برای نمایش نمودار تنش‌آسایی در محصولات کشاورزی استفاده می‌گردد. همچنان برای از بین بردن تنش باقی مانده در محصولات کشاورزی بعد از گذشت مدت زمانی، فتری با ضریب Ee به مدل ماکسول عمومی اضافه می‌نمایند. رابطه (8) بیان ریاضی مدل عمومی ماکسول را نشان می‌دهد:

$$\sigma(t) = \sigma_1 \cdot e^{\frac{-t}{T_{rel1}}} + \sigma_2 \cdot e^{\frac{-t}{T_{rel2}}} + \dots + \sigma_n \cdot e^{\frac{-t}{T_{reln}}} + \sigma_e \quad (8)$$

σ تنش در زمان دلخواه t (پاسکال)، σ تنش در جزء‌های مدل ماکسول (پاسکال)، e عدد نپیر (2/7182)، T_{rel} زمان‌های ریلکسیشن در جزء‌های مدل ماکسول (ثانیه)، t مدت زمان آزمون در هر جزء (ثانیه) و σ_e تنش متعادل (پاسکال) می‌باشد. زمان تنش‌آسایی نیز با استفاده از رابطه (9) محاسبه می‌شود [13]:

$$T_{rel} = \frac{t_2 - t_1}{\ln \sigma(t_1) - \ln \sigma(t_2)} \quad (9)$$

که در آن T_{rel} زمان آسایش تنش (ثانیه)، t و σ نیز به ترتیب زمان (ثانیه) و تنش (پاسکال) در دو نقطه دلخواه از قسمت خطی شده منحنی می‌باشد.

6-2-تجزیه و تحلیل داده‌ها

این تحقیق به صورت فاکتوریل و در قالب طرح کاملاً تصادفی با سه فاکتور دزهای پرتو گاما در چهار سطح صفر، 2، 5 و 8 کیلوگری، دمای نگهداری در دو سطح 6 و 18 درجه سانتی‌گراد و زمان ذخیره‌سازی در دو سطح صفر و 150 روز می‌باشد و در 5 تکرار به اجرا درآمد. داده‌ها پس از نرمال شدن با استفاده از نرم افزار IBM SPSS Statistic 19 مورد تجزیه و تحلیل قرار گرفت.

$$\rho = \frac{m}{V} \quad (4)$$

در روابط بالا جرم بر حسب گرم، حجم غده بر حسب سانتی‌متر مکعب، حجم مخصوص غده بر حسب گرم بر سانتی‌متر و جرم مخصوص آب نیز برابر یک گرم بر سانتی‌متر مکعب در نظر گرفته شد.

4-2-شاخص‌های رنگ

بی‌رنگ و قهوه‌ای شدن میوه‌ها ناشی از انواع واکنش‌های شیمیایی شامل پلیمر شدن فتل و تخریب ماده رنگی است. رنگ نمونه‌ها در شروع و پایان دوره نگهداری به‌وسیله رنگ‌سنجد هانترلب مدل HP-200، ساخت کشور چین با دقت ±0/01 درجه رنگ (بدون واحد) اندازه‌گیری شد و مقادیر رنگی در طول دوره انبارداری به صورت شاخص‌های L^* (میزان روشنی)، a^* (میزان قرمزی) و b^* (میزان زردی) بیان شدند. برای توصیف تعییرات رنگ از شاخص (اختلاف رنگ کل نمونه‌ها از برگه سیب‌ازمینی زمینی تازه) استفاده شد که این شاخص با استفاده از رابطه (5) تعریف می‌شود [16]:

$$\Delta E = \sqrt{(L^* - L_0^*)^2 + (a^* - a_0^*)^2 + (b^* - b_0^*)^2} \quad (5)$$

اندیس‌های L_0^* ، a_0^* و b_0^* مربوط به نمونه تازه و L^* ، a^* و b^* به ترتیب میزان روشنی، قرمزی و زردی نمونه‌ها است. مقدار ΔE زیاد نشان‌دهنده تغییر رنگ بیشتر نسبت به ماده اولیه است [16]. شاخص قهوه‌ای شدن که خلوص رنگ قهوه‌ای را نشان می‌دهد و به عنوان یک عامل مهم مربوط به قهوه‌ای شدن در نظر گرفته می‌شود با استفاده از رابطه (6) و (7) محاسبه گردید [17]:

$$BI = \frac{[100(x - 0.31)]}{0.17} \quad (6)$$

$$x = \frac{(a^* + 1.75L^*)}{(5.645L^* + a^* - 3.012b^*)} \quad (7)$$

5-2-آزمون تنش‌آسایی و مدل ماکسول

در این تحقیق به منظور اندازه‌گیری و بررسی ویژگی‌های ویسکوالاستیک نمونه‌ها از آزمون تنش‌آسایی بر روی نمونه‌ها استفاده شد. برای انجام این آزمون از دستگاه بافت‌سنجد Zwick/roell مدل bt1_fr0.5th.d14 ساخت کشور آلمان،

بررسی تأثیر پیش‌تیمار پرتووده‌ی گاما بر برخی ویژگی‌های کیفی و ...

3-نتایج و بحث

3-1-بررسی خواص کیفی و فیزیکی

نتایج مربوط به سنجش شاخص‌های کیفی و فیزیکی غده‌ها در هر دو دمای نگهداری در جدول (1) ارائه شده است. خواص کیفی غده‌ها از جمله درصد ماده خشک و درصد نشاسته بر حسب وزن تازه برای نمونه‌های پرتووده‌ی شده با دز 2 کیلوگرمی و ذخیره شده در دمای 6 درجه سانتی‌گراد دارای بالاترین مقادیر مقدار میانگین 40/12 میلی‌متر است. همین طور قطر میانگین هندسی در نمونه پرتووده‌ی شده با دز 2 کیلوگرمی و ذخیره شده در دمای 6 درجه سانتی‌گراد دارای بالاترین همچنین پایین‌ترین مقدار درصد ماده خشک و درصد نشاسته مربوط به نمونه پرتووده‌ی شده با دز 8 کیلوگرمی و ذخیره شده در دمای محیط است، که نسبت به نمونه ذخیره شده در دمای 6 درجه سانتی‌گراد بهترتب 7/69 و 5/97 درصد کمتر است و همچنین نسبت به نمونه پرتووده‌ی شده با دز 2 کیلوگرمی بهترتب 21/24 و 45/22 درصد کمتر است. یک همبستگی خاصی بین درصد نشاسته و ماده خشک غده وجود دارد و همان‌طور که ملاحظه می‌شود ارقامی که بیش‌ترین ماده خشک را دارند، به همان نسبت از میزان نشاسته بالاتری

برخوردارند. گزارش شده است که ماده خشک غده‌های بزرگ به طور معمول کمتر از غده‌های کوچک است، چرا که بافت مغزی غنی از آب به نسبت بیش‌تری دارند، اما رابطه بین اندازه غده و درصد ماده خشک، یک رابطه خطی نیست [18].

مقادیر قطر میانگین هندسی با افزایش دز پرتووده‌ی کاهش یافته و در نمونه‌های پرتووده‌ی شده با دز 8 کیلوگرمی دارای کمترین مقدار میانگین 12/40 میلی‌متر است. همین طور قطر میانگین هندسی در نمونه پرتووده‌ی شده با دز 2 کیلوگرمی و ذخیره شده در دمای 6 درجه سانتی‌گراد دارای بالاترین مقدار 29/62 میلی‌متر است. همچنین نمونه‌های پرتووده‌ی شده با دز 2 کیلوگرمی نسبت به دز 5 و 8 کیلوگرمی بهترتب 27/17 و 33/98 درصد در دمای 6 درجه سانتی‌گراد و 13/65 و 23/05 درصد در دمای 18 درجه سانتی‌گراد بیش‌تر است (جدول 1). این امر نشان دهنده این است که قطر میانگین هندسی تحت تأثیر دز پرتووده‌ی و دمای نگهداری محصول است. همچنین ضریب کرویت نیز با افزایش دز پرتووده‌ی کاهش یافته، اما در نمونه‌های پرتووده‌ی شده با

جدول (1) میانگین مشخصه‌های کیفی و فیزیکی غده‌ها در دمای نگهداری 6 درجه سانتی‌گراد و محیط در شروع و پس از 150 روز

دز پرتووده‌ی (کیلوگرمی)	دما نگهداری (درجه سانتی‌گراد)	درصد ماده خشک	درصد نشاسته (بر حسب وزن تازه)	قطر میانگین هندسی	ضریب کرویت	حجم	جرم مخصوص
0	6	24/7±0/125	14/7±0/100	53/2±0/021	86/4±0/087	139/7±0/086	0/998±0/036
18	6	19/1±0/230	14/2±0/302	64±0/011	79/3±0/074	120/4±0/052	0/832±0/042
6	2	25/9±0/130	12/3±0/300	51/2±0/023	88/9±0/234	139/2±0/012	0/996±0/029
18	18	19/8±0/325	11/5±0/075	62±0/011	88/7±0/127	122/4±0/074	0/859±0/087
6	5	23/1±0/637	12/1±0/057	48/2±0/025	87/2±0/086	149/7±0/069	0/990±0/063
18	18	18/9±0/411	9/7±0/109	56/11±0/060	79/5±0/410	122/8±0/047	0/822±0/042
6	8	17/7±0/410	10/4±0/074	47/4±0/102	80/2±0/073	128/7±0/036	0/859±0/045
18	18	15/2±0/142	9/2±0/410	52/4±0/031	75/4±0/076	120/7±0/053	0/812±0/012
0	6	22/4±0/025	13/14±0/075	49/13±0/321	82/37±0/087	134/14±0/127	0/984±0/025
18	18	17/29±0/123	13/61±0/143	56/73±0/183	74/13±0/065	115/92±0/219	0/812±0/034
6	2	22/01±0/357	12/09±0/098	62/29±0/261	83/41±0/034	136/48±0/372	0/974±0/042
18	18	16/76±0/142	11/21±0/362	52/23±0/387	80/49±0/042	117/34±0/412	0/820±0/051
6	5	19/61±0/038	10/32±0/041	45/36±0/386	80/67±0/068	140/73±0/520	0/875±0/032
18	18	14/73±0/472	7/63±0/149	45/10±0/276	74/37±0/049	115/67±1670	0/794±0/046
6	8	14/30±0/321	6/53±0/197	41/12±0/129	76/41±0/075	124/23±0/342	0/820±0/0424
18	18	13/20±0/120	6/14±0/237	40/19±0/237	70/49±0/062	110/71±0/246	0/657±0/039

2-3-بررسی تغییرات رنگ

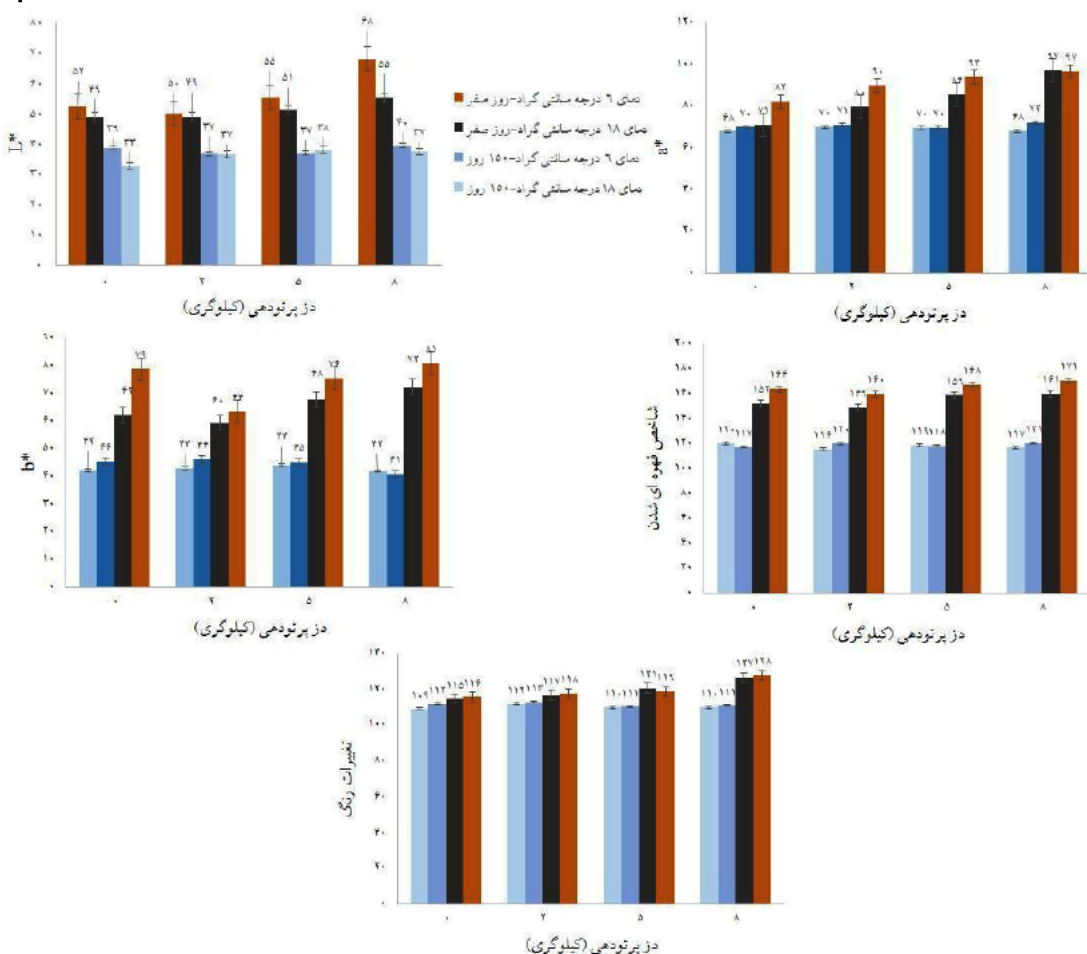
با توجه به جدول تجزیه واریانس (جدول ۲)، دز پرتوودهی، دمای نگهداری و اثر متقابل آن‌ها بر روش شاخص^{a*} به ترتیب در سطح ۰.۵٪، ۱٪ و ۰.۵٪ معنی‌دار هستند. با افزایش دز پرتوودهی و دمای نگهداری، شاخص^{a*} به ترتیب ۱۲/۲۵ و ۱۵/۶۳ درصد در دمای ۶ و ۱۸ درجه سانتی‌گراد افزایش داشته است (شکل ۱). علت این پدیده، کاهش رطوبت موجود در بافت نمونه و چروکیدگی محصول است [21]. همین‌طور، اثرات اصلی متغیرهای دز پرتوودهی و دما در سطح ۱٪ و اثر متقابل در سطح ۰.۵٪ بر شاخص^{b*} معنی‌دار بود. بدین صورت که با افزایش دز پرتوودهی و دمای نگهداری شاخص^{b*} شاهد نسبت به دز پرتوودهی ۲ کیلوگری ۷/۶۴ و ۹/۱۰ درصد در دمای ۶ و ۱۸ درجه سانتی‌گراد دارای روند افزایشی بوده یا به عبارتی میزان زردی غده‌ها افزایش یافته است. افزایش میزان زردی با افزایش دز پرتوودهی به این علت است که محصول به طور معمول مقداری زیادی از مواد فرار در طی دوران بلوغ و پیری را از دست می‌دهند، زرد شدن غده‌ها نیز یک رابطه خطی با زمان سپری شده پس از برداشت دارد که با دز به کار رفته نیز متناسب است [22]. همچنان اثرات اصلی دز پرتوودهی و دمای نگهداری در سطح ۰.۵٪ بر روی شاخص^{L*} معنی‌دار شد، اما اثر متقابل آن‌ها معنی‌دار نگردید. با افزایش دز پرتوودهی و دمای نگهداری از میزان روشنایی نمونه به میزان ۸/۰۴ و ۱۲/۱۰ درصد در دمای ۶ و ۱۸ درجه سانتی‌گراد کاسته شده است، اما برای نمونه‌های پرتوودهی با دز ۲ کیلوگری نسبت به ۵ و ۸ کیلوگری به ترتیب ۴/۲ و ۶/۵ درصد در دمای ۶ درجه سانتی‌گراد و ۱۲/۳۷ و ۹/۸ درصد در دمای ۱۸ درجه سانتی‌گراد کمتر بوده است. دلیل این امر افت رطوبت و کاهش آب بین

دز ۲ کیلوگری و ذخیره شده در دمای ۶ درجه سانتی‌گراد دارای بیشترین مقدار ضریب کرویت نسبت به دز پرتوودهی ۵ و ۸ کیلوگری به ترتیب ۳/۲۸ و ۸/۳۹ درصد در دمای ۶ درجه سانتی‌گراد و ۷/۶۰ و ۱۲/۴۲ درصد در دمای ۱۸ درجه سانتی‌گراد بیش‌تر بود. حجم و جرم مخصوص نیز برای نمونه‌های پرتوودهی شده با دزهای بالا دارای مقادیر کمتری بود، همچنان در دمای نگهداری ۶ درجه سانتی‌گراد به دلیل حفظ ابعاد، نمونه‌های دارای مقادیر بیشتری از حجم و جرم مخصوص هستند. جرم و حجم مخصوص نمونه‌ها در پایان ذخیره‌سازی در طی ۱۵۰ روز برای نمونه‌های شاهد نسبت به پرتوودهی شده با دز ۲ کیلوگری به ترتیب ۱/۷۴ و ۲/۶۴ درصد در دمای ۶ درجه سانتی‌گراد و ۰/۹۸ درصد در دمای ۱۸ درجه سانتی‌گراد کمتر بود. همچنان مقادیر جرم و حجم مخصوص برای نمونه‌های پرتوودهی شده با دز ۵ و ۸ کیلوگری نسبت به دز ۲ کیلوگری به ترتیب ۸/۹۷ و ۱۵/۸۱ درصد در دمای ۶ درجه سانتی‌گراد و ۵/۶۵ و ۲۰/۷۳ درصد در دمای ۱۸ درجه سانتی‌گراد کمتر بود. دلیل این امر این است که جذب انرژی توسط بافت میوه (از طریق پرتوودهی) با از بین رفتن پاتوژن‌ها و عوامل میکروبی مقادیر اندکی از مولکول‌های آب درون‌بافتی نیز بر اثر جنبش مولکولی از بین می‌رونند با تغییر وضعیت می‌دهند که این به نوبه خود باعث ایجاد تخلخل درون‌بافتی و به مرور زمان باعث جمع شدن و چروکیده شدن محصول می‌گردد [19]. در پژوهشی نیز اثر مدت زمان نگهداری به مدت ۱۱ روز بر روی میوه خرمالو بررسی گردید. در این تحقیق با افزایش مدت زمان نگهداری خواص فیزیکی نمونه از جمله قطر میانگین هندسی، قطر میانگین حسابی، وزن و حجم به ترتیب ۷/۶، ۹/۱۲، ۱۲/۲۰ و ۸/۷۲/۲۳ درصد کاهش یافت [20].

جدول (۲) تجزیه واریانس تاثیر دز پرتوودهی و دمای نگهداری و اثرات متقابل آن‌ها بر روی شاخص‌های رنگی

BI	ΔE	میانگین مربعات			درجه آزادی	متغیر
		L^*	b^*	a^*		
۰/۴۲۱ n.s	۰/۱۴۳*	۰/۰۱۵*	۰/۳۴۹**	۰/۳۲۵*	۳	دز پرتوودهی
۰/۶۵۱*	۰/۴۲۳*	۰/۰۶۹*	۰/۲۷۳**	۰/۴۵۲**	۱	دمای نگهداری
۰/۷۳۹ n.s	۰/۳۸۷*	۰/۱۰۳ n.s	۰/۳۱۲*	۰/۱۰۹*	۳	دز پرتوودهی × دمای نگهداری
۰/۳۴۳	۰/۵۱۲	۰/۳۰۴	۰/۱۶۸	۰/۲۰۴	۱۶	خطای آزمایش

*معنی‌دار در سطح ۰.۱٪، **معنی‌دار در سطح ۰.۵٪، n.s عدم معنی‌داری



شکل (1) میانگین تغییرات در شاخص‌های رنگی غده‌ها در طی دوره 150 روزه

سلولی در طی انبارداری است (محمدزاده، 1392). در افزایش داشته که علت این امر کاهش رطوبت موجود در بافت پژوهشی نیز محققین به نتایج مشابه‌ای رسیدند که با افزایش مقدار دز پرتوودهی و مدت زمان انبارداری، میزان L^* کاهش می‌یابد [23].

3-3-آزمون تنش آسایی

با توجه به یافته‌های حاصل از اثرات دز پرتوودهی و دمای نگهداری بر تنش و زمان تنش‌آسایی داده‌های زمان و تنش ریلکسیشن در اجزای مدل ماکسول (جدول 3)، تنش ریلکس شده در جزء‌های با افزایش مقدار دز پرتوودهی به مقدار 39/96 درصد کاهش یافته و مدت زمان ریلکسیشن به مقدار 27 درصد افزایش یافته است. همچنین دمای نگهداری تاثیر معنی‌دار بر تنش و زمان ریلکسیشن داشته است (جدول 4) همچنین زمان ریلکسیشن بر اساس مشخصه‌های الاستیک و ویسکوز مواد متفاوت است، اما این زمان در مواد الاستیک

همچنین در ارتباط با شاخص‌های تغییرات رنگ و میزان قهوه‌ای شدن، اثرات اصلی و متقابل دز پرتوودهی و دمای نگهداری در سطح 5% بر روی شاخص تغییرات رنگ معنی‌دار هستند، اما در مورد شاخص قهوه‌ای شدن، اثرات متقابل و اثر اصلی دز پرتوودهی بر روی این شاخص معنی‌دار نشد و اثر اصلی دما نگهداری در سطح 5% بر روی این شاخص معنی‌دار شد. شاخص تغییرات رنگ با افزایش دز از 2 کیلوگرمی تا 5 و 8 کیلوگرمی 14/2 و 15/61 درصد در دمای 6 درجه سانتی‌گراد و 20/56 و 26/05 درصد در دمای 18 درجه سانتی‌گراد،



جدول (3) میانگین حاصل از اثرات دز پرتودهی و دمای نگهداری بر تنش و زمان ریلکسیشن

زمان تنش آسایی (ثانیه)			تنش (پاسگال)				دما نگهداری	دز پرتودهی
Trel ₃	Trel ₂	Trel ₁	σ_e	σ_3	σ_2	σ_1		
0/051	0/048	0/036	4/27	4/13	4/39	2/71	6	
0/041	0/038	0/028	6/91	5/37	4/33	4/19	18	0
0/046	0/042	0/029	7/30	7/67	6/19	5/13	6	
0/037	0/032	0/021	7/39	9/55	7/46	7/45	18	2
0/037	0/037	0/014	8/14	8/43	7/14	8/09	6	
0/026	0/033	0/015	10/36	11/97	8/45	9/23	18	5
0/024	0/033	0/009	10/42	10/54	9/20	9/63	6	
0/021	0/026	0/011	12/31	13/11	10/33	10/57	18	8

جدول (4) تجزیه واریانس تأثیر دز پرتودهی، دمای نگهداری و زمان ذخیره‌سازی بر تنش و زمان ریلکسیشن

متغیرها	دز پرتودهی	دمای نگهداری	زمان انبارداری	دز پرتودهی × دمای نگهداری	دز پرتودهی × زمان ذخیره سازی	دمای نگهداری × زمان ذخیره سازی	دز پرتودهی × دمای نگهداری × زمان ذخیره سازی	درجه آزادی	تنش ریلکسیشن	زمان ریلکسیشن	*
0/036**	4/51**	3									
0/028*	5/19*	1									
/021 n.s	6/23*	1									
/010*	7/20*	3									
0/102 n.s	5/63**	3									
0/098*	6/10*	1									
0/082*	7/41*	3									

** معنی دار در سطح ٪1 ، * معنی دار در سطح ٪5 ، n.s عدم معنی داری

نمونه‌ای از منحنی مدل (رسم شده بر اساس ضرایب مدل ماکسول) و منحنی حاصل از آزمون تجربی تنش‌آسایی در شکل (3) نمایش داده شده است. جهت مقایسه داده‌های پیش‌بینی شده توسط مدل و داده‌های تجربی، مقدار ریشه میانگین مربعات خطا (RMSE) و ضریب تعیین (R^2) محاسبه گردید. با توجه به جدول (5)، میزان این شاخص‌های آماری برای تمامی تیمارها $0/79 < 0/85 < R^2 < 0/85$ می‌باشد و بیانگر این مطلب است که مدل ارائه شده با توجه به ضریب R^2 بالا و RMSE پایین، رضایت‌بخش بوده و متناسب با داده‌های تجربی می‌باشد.

بسیار بیشتر است [25]. بر اساس نتایج پرتودهی از جمله عوامل افت رطوبت و تبخیر آب میان بافتی است، در نتیجه با پرتودهی مشخصه ویسکووز نمونه‌ها کاهش یافته و زمان ریلکسیشن افزایش می‌یابد [10-11] که با نتایج این تحقیق نیز همخوانی دارد. جدول (3) مقادیر میانگین تنش و زمان‌های ریلکسیشن را در اجزای ویسکوالاستیک در مدل دو جزئی ماکسول که با استفاده از معادلات مورد نظر مطرح شد، نشان می‌دهد. بدین منظور با وارد کردن متغیرها، با دستور CF Tool بهترین مدل به دست آمده و زمان‌های ریلکسیشن و مدل سه جزئی ماکسول محاسبه گردید (شکل 2).

4-نتیجه گیری

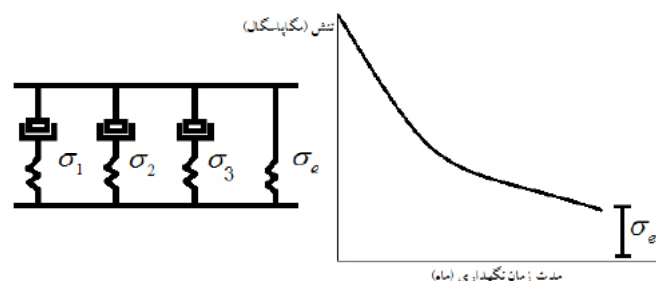
3-3-1-شبیه‌سازی تنش و زمان ریلکسیشن

آزمون ریلکسیشن در ابتدا تا انتهای فرایند ذخیره‌سازی و استفاده از پرتوهای یونیزه کننده به عنوان جایگزین روش‌های

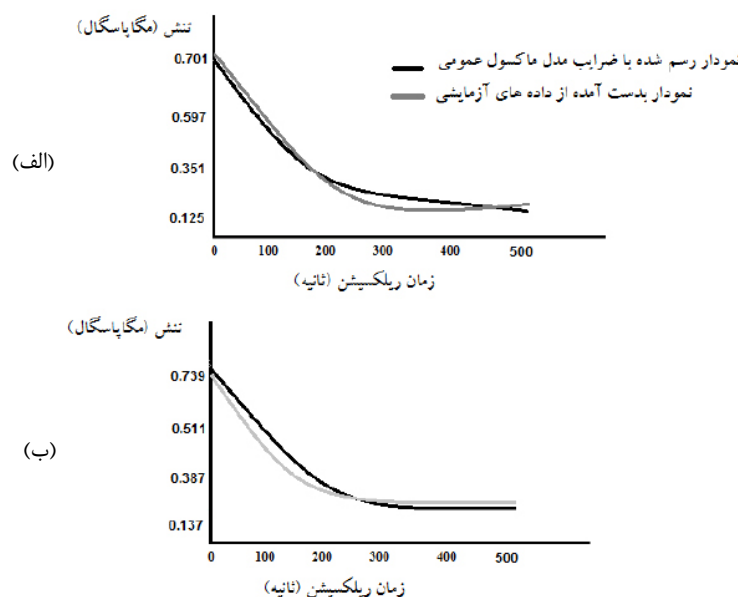
بررسی تأثیر پیش‌تیمار پرتوودهی گاما بر برخی ویژگی‌های کیفی و ...

جدول (5) شاخص‌های آماری ضریب تعیین و ریشه میانگین مربعات خطای مدل دو جزئی ماکسول ارائه شده

ضرایب آماری	R^2	دما نگهداری	دز پرتوودهی
RMSE			
0/64	0/95	6	0
0/56	0/92	18	
0/42	0/89	6	2
0/79	0/88	18	
0/63	0/90	6	5
0/61	0/85	18	
0/53	0/91	6	8
0/56	0/97	18	



شکل (2) جزء ویسکوالاستیک در مدل سه جزئی ماکسول در نمونه‌ها



شکل (3) نموداری با ضرایب مدل ماکسول و داده‌های تجربی به دست آمده در نمونه‌های پرتوودهی شده و ذخیره شده در (الف) دما 6 درجه سانتی‌گراد و (ب) 18 درجه سانتی‌گراد

پرتودهی شده نسبت به نمونه پرتودهی شده با دز 2 کیلوگری نیز دارای تغییرات بیشتری بود. همچنان با توجه به آزمون تنفس‌آسایی مدل سه جزئی ماکسول برای این محصول پیش‌بینی گردید و داده‌های حاصل از این پیش‌بینی با داده‌های تجربی دارای سازگاری خوبی با بهترین مقدار R^2 و RMSE بود که نشان‌دهنده پیش‌بینی مناسب است. همین‌طور با توجه به نتایج با افزایش دز پرتودهی و دمای نگهداری تنش ریلکسیشن کاهش و مدت زمان ریلکسیشن افزایش می‌باشد که به نسبت برای دزهای 5 و 8 کیلوگری نسبت به 2 کیلوگری دارای تغییرات بیشتری است و دز پرتودهی مناسب 2 کیلوگری از کاهش و افزایش تنش و مدت زمان ریلکسیشن جلوگیری کرده است. با توجه نتایج حاصل پرتودهی در دز مناسب و نگهداری غده‌های سیب‌زمینی در شرایط دمایی مناسب از تغییرات خواص فیزیکی، کیفی، رنگ و خواص مکانیکی جلوگیری می‌کند.

شیمیایی در نگهداری مواد غذایی در حال گسترش می‌باشد. در این پژوهش، نمونه غده‌های سیب‌زمینی بعد از اعمال پرتودهی دارای عمر طولانی بوده و تغییرات خواص فیزیکی و کیفی کمتر صورت گرفت. بدین‌ترتیب که خواص کیفی غده‌ها از جمله درصد ماده خشک و درصد نشاسته و همین‌طور خواص فیزیکی از جمله قطر میانگین هندسی، ضریب کرویت، حجم و جرم با افزایش دز پرتودهی و دمای نگهداری افزایش داشته است، اما در دز پرتودهی 2 کیلوگری و دمای نگهداری 6 درجه سانتی‌گراد دارای بهترین نتایج بوده و با افزایش دز پرتودهی از 2 تا 5 و 8 کیلوگری کاهش یافتند. همین‌طور تغییرات رنگ، a* و b* با افزایش دز پرتودهی و افزایش دمای نگهداری افزایش و L* کاهش یافتند که در مقایسه با نمونه‌های پرتودهی با دز 5 و 8 کیلوگری دارای تغییرات کمتری بودند. همچنان تغییرات در شاخص‌های کیفی، فیزیکی و رنگ در نمونه‌های

منابع

- dose: effects on baby-leaf spinach ascorbic acid, carotenoids, folate, α -tocopherol, and phylloquinone concentrations. *J. Agr. Food Chem.*, 58, 4901-4906.
- [7] یوسفیان، س.ه؛ محمدزاداری، آ؛ سیحون، م؛ کیانی، ح. (1395) تعیین شرایط بهینه با روش سطح پاسخ و مقایسه دو روش شبکه عصبی و رگرسیون در خشک کردن سیب‌زمینی پرتودیده با اشعه گاما. *فصلنامه علمی پژوهشی علوم و صنایع غذایی ایران*، جلد 13، شماره 59، ص 85-96.
- [8] Sommers, C.H., Fan, X. (2006). *Food Irradiation Research and Technology*. Blackwell Publishing, John Wiley & Sons., 652-703.
- [9] Ahari Mostavafi, H., Mirmajlesi, M., Mirjalili, M.M., Fatholahi, H., Mansuripoor, M., Babaie, M. (2011). The effect of gamma radiation on spore germination and growth of *Patty Syllym Akpansym* row causes of postharvest fruit. *Journal of Nuclear Science and Technology of Iran's Atomic Energy Organization*, 4 (58), 49-54.
- [10] حسنپور، ع؛ اسماعیلی، م؛ مدرس مطلق، ا؛ رحمانی
- [1] Cunningham, S.E., McMinn, W.A. M., Magee, T.R.E. (2007). Effect of processing conditions on the water absorption and texture kinetics of potato. *J. Food Eng.*, 84(2), 214-223.
- [2] Kaur, L., Singh, N., Sodhi, N.S. (2002). Some properties of potatoes and their starches II. Morphological, thermal and rheological properties of starches. *Food Chem.*, 79, 183-192.
- [3] Röper, H. (2002). Renewable raw materials in Europe-industrial utilization of starch and sugar. *Starch J.*, 54, 89-99.
- [4] Haase, N.U., Weber, L. (2003). Ascorbic acid losses during processing of French fries and potato chips. *J. Food Eng.*, 56, 207-209.
- [5] یوسفیان، س.ه؛ (1395) اثر پرتودهی گاما بر کیفیت و زمان ماندگاری سیر رقم سفید همدان تحت آزمون‌های مکانیکی، فیزیکی و شیمیایی. پایان نامه کارشناسی ارشد، دانشگاه بوعالی سینا همدان.
- [6] Lester, G.E., Hallman, G.J. (2010). Γ -irradiation

on minimally processed kiwifruit. International Meeting on Radiation Processing. Montreal, Abstract, pp. 189-190.

[20] Jo, C., Son, G.H., Shin, M.G., Byun, M.W. (2003). Irradiation effects on color and functional properties of persimmon leaf extract and licorice root extract during storage. *J. Radiat. Phys. Chem.*, 67, 143-148.

[21] اثنی عشری، م؛ ذاکعی خسروشاهی، ا. (1388) بیولوژی و تکنولوژی پس از برداشت، انتشارات دانشگاه بوعلی سینا همدان، جلد 2، ص 127-125.

[22] Mohammed, M.M., Ogah, M.D., Hassan, I.D. (2004). Inhibitory effect of fresh and heated garlic (*Allium sativa*) on Bacteria. Proceedings of the 38th Annual Conference of Nigeria (ASN), (pp.381-384).

[23] Wang, J., Chao, Y. (2003). Effect of gamma irradiation on quality of dried potato. *J. Radiat. Phys. Chem.*, 66, 293-297.

[24] مقصودی، و؛ یغمائی، س. (1383) بررسی تغییرات رنگ سبیزمنی در حین سرخ کردن در حمام روغن، نشریه علوم و صنایع غذایی ایران، جلد 1، شماره 1، ص 7-14.

[25] Van-Vliet, T. (1999). Rheological classification of foods and instrumental techniques for their study. *Journal of Food Texture Measurement and Perception*, 25, 95-98.

دیدار، ع. (1389) تغییرات خواص ویسکوالاستیک انگور سفید بیدانه در طی رسیدن. مجله پژوهش‌های صنایع غذایی، جلد 20/3، شماره 2، ص 145-133.

[11] ندیم، ز؛ احمدی، ا. (1395) بررسی برخی خواص رئولوژیکی توت فرنگی پوشش دهی شده با متیل سلولز. نشریه ماشین‌های کشاورزی، جلد 6، شماره 1، ص 162-153.

[12] Razavi, S.M.A., Akbari, R. (2007). Biophysical properties of agricultural and food materials. *J. Ferdowsi University of Mashad Publisher, Iran*.

[13] Mohsenin, N.N. (1986). Physical Properties of Plant and Animal Materials. 2nd Revised and Updated Edition. *Gordon and Breach Science Publishers*, 320-329.

[14] A.O.A.C. (1990). Official methods of analysis association of analytical chemists. Washington D.C. USA. P: 777.

[15] Takahiro, N., Shogo, T., Motoyuki, M., Shigenobu, T., Chie, M.E., Katsuichi, S., rachichige, W.H., Akihiro, H., Yasuyuki, S., Hiroaki, Y. (2004). The effect of harvest dates on the starch properties of various potato cultivars. *Food Chem.*, 86, 119-125.

[16] Maskan, M. (2001). Drying, shrinkage and rehydration characteristics of kiwifruits during hot-air and Microwave drying. *J. Food Eng.*, 48, 177-182.

[17] Askari, G.R., Emam-Djomeh, Z., Mousavi, S.M. (2006). Effects of combined coating and microwave assisted hot-air drying on the texture, microstructure and rehydration characteristics of apple Slices. *J. Food Sci.*, 12(1), 39-46.

[18] Kaaber, L., Brathen, E., Martinsen, B.K., Shomer, I. (2006). The effect of storage conditions on chemical content of raw potato and texture of cooked potatoes. *J. Potato Res.* 44, 153-163.

[19] Oliveira, A.C. Silva, S., Oliveira, L.C., Modolo, M., Arthur, D. (2011). Evaluation of gamma radiation